

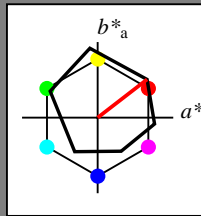
### Eingabe: Farbmetrisches Reflexions-System ORS18

für Bunnton  $h^* = lab^*h = 38/360 = 0.105$

$lab^*tch$  und  $lab^*nch$

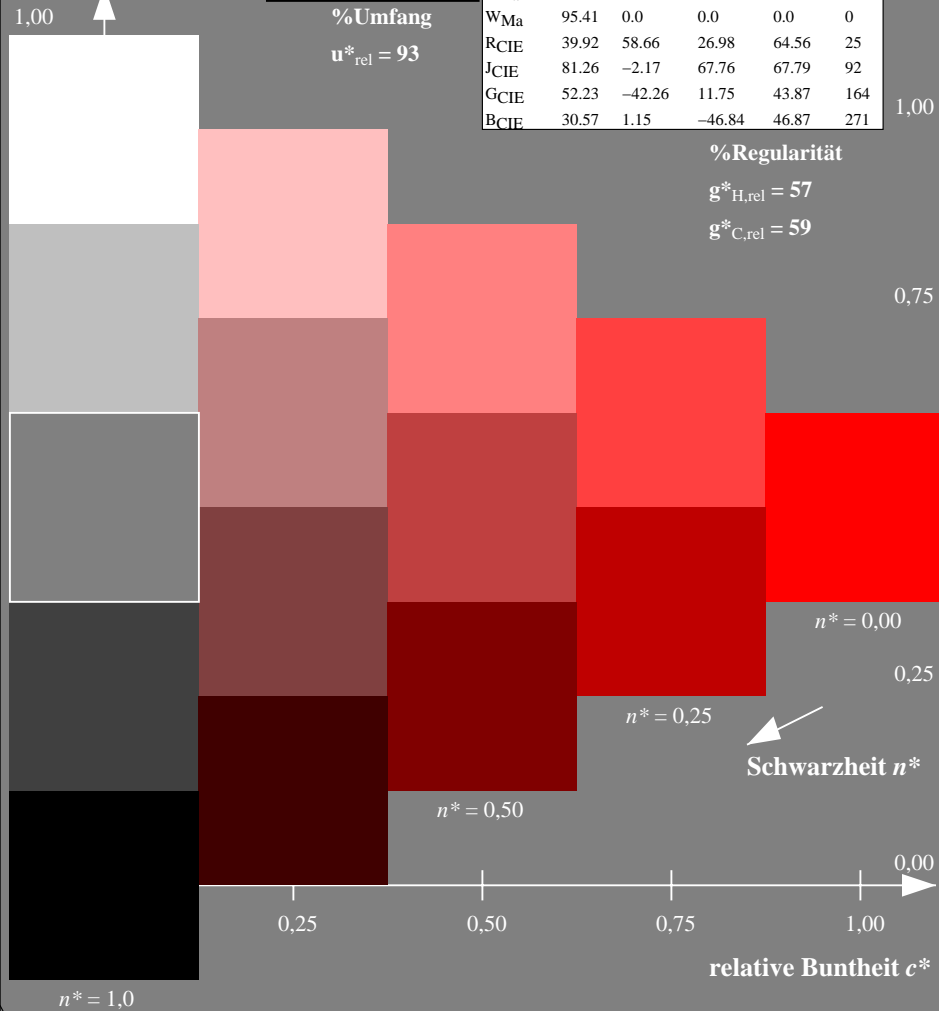
D65: Bunnton O  
LCH\*Ma: 48 83 38  
rgb\*Ma: 1.0 0.0 0.0

Dreiecks-Helligkeit



%Umfang

$u^*_{rel} = 93$



### ORS18; adaptierte CIELAB-Daten

|      | $L^*=L^*_a$ | $a^*_a$ | $b^*_a$ | $C^*_{ab,a}$ | $h^*_{ab,a}$ |
|------|-------------|---------|---------|--------------|--------------|
| OMa  | 47.94       | 65.37   | 50.52   | 82.62        | 38           |
| YMa  | 50.37       | -10.27  | 91.77   | 92.34        | 96           |
| LMa  | 50.9        | -62.79  | 34.95   | 71.87        | 151          |
| CMa  | 58.62       | -30.35  | -45.01  | 54.3         | 236          |
| VMa  | 25.71       | 31.11   | -44.42  | 54.24        | 305          |
| MMa  | 48.13       | 75.27   | -8.35   | 75.73        | 354          |
| NMa  | 18.01       | 0.0     | 0.0     | 0.0          | 0            |
| WMa  | 95.41       | 0.0     | 0.0     | 0.0          | 0            |
| RCIE | 39.92       | 58.66   | 26.98   | 64.56        | 25           |
| JCIE | 81.26       | -2.17   | 67.76   | 67.79        | 92           |
| GCIE | 52.23       | -42.26  | 11.75   | 43.87        | 164          |
| BCIE | 30.57       | 1.15    | -46.84  | 46.87        | 271          |

%Regularität

$g^*_{H,rel} = 57$

$g^*_{C,rel} = 59$

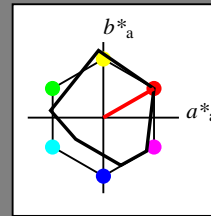
### Ausgabe: Farbmetrisches Reflexions-System MRS18

für Bunnton  $h^* = lab^*h = 30/360 = 0.083$

$lab^*tch$  und  $lab^*nch$

D65: Bunnton R  
LCH\*Ma: 50 77 30  
rgb\*Ma: 1.0 0.0 0.0

Dreiecks-Helligkeit



%Umfang

$u^*_{rel} = 91$

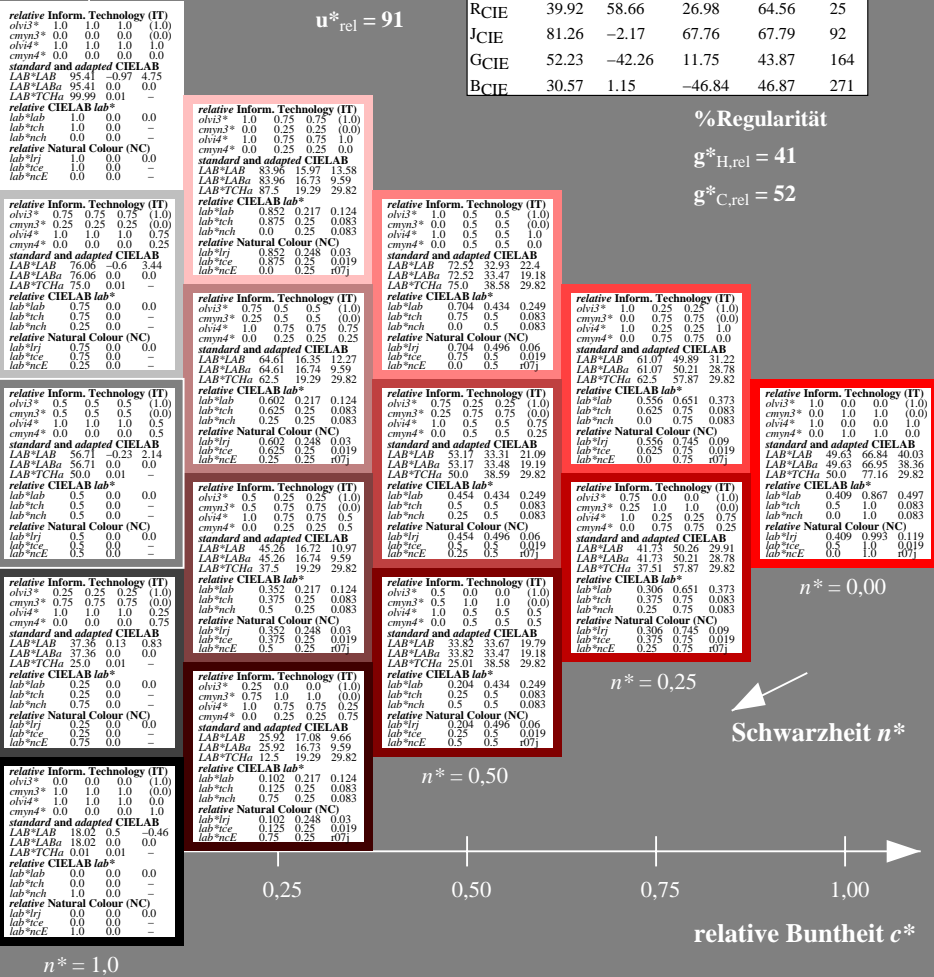
### MRS18; adaptierte CIELAB-Daten

|        | $L^*=L^*_a$ | $a^*_a$ | $b^*_a$ | $C^*_{ab,a}$ | $h^*_{ab,a}$ |
|--------|-------------|---------|---------|--------------|--------------|
| RMa    | 49.63       | 66.96   | 38.37   | 77.18        | 30           |
| JMa    | 90.7        | -6.36   | 88.75   | 88.98        | 94           |
| GMa    | 52.11       | -69.73  | 9.44    | 70.37        | 172          |
| G50BMa | 45.03       | -36.57  | -28.47  | 46.36        | 218          |
| BMa    | 36.65       | 23.19   | -63.05  | 67.18        | 290          |
| B50RMa | 34.94       | 57.17   | -44.26  | 72.31        | 322          |
| NMa    | 18.01       | 0.0     | 0.0     | 0.0          | 0            |
| WMa    | 95.41       | 0.0     | 0.0     | 0.0          | 0            |
| RCIE   | 39.92       | 58.66   | 26.98   | 64.56        | 25           |
| JCIE   | 81.26       | -2.17   | 67.76   | 67.79        | 92           |
| GCIE   | 52.23       | -42.26  | 11.75   | 43.87        | 164          |
| BCIE   | 30.57       | 1.15    | -46.84  | 46.87        | 271          |

%Regularität

$g^*_{H,rel} = 41$

$g^*_{C,rel} = 52$



Schwarzheit  $n^*$

Schwarzheit  $n^*$

TG400-7, 5 stufige Reihen für konstanten CIELAB Bunnton 38/360 = 0.105 (links)

5 stufige Reihen für konstanten CIELAB Bunnton 30/360 = 0.083 (rechts)

BAM-Prüfvorlage TG40; Farbmetrik-Systeme ORS18 & ORS18 input:  $olv^* setrgbcolor$

D65: 5stufige Farbreihen und Koordinaten-Daten für 10 Bunttöneoutput: *Startup (S) data dependent*

BAM-Registrierung: 20060101-TG40/10S/S40G00SP.PS/.PDF BAM-Material: Code=rh4ta  
Anwendung für Beurteilung und Messung von Drucker- oder Monitorssystemen  
Schulung 1  
TG400 Form 1/10, Serie: 1/1, Seite: 1

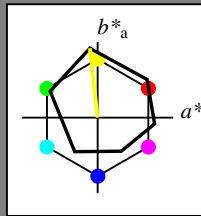
Eingabe: Farbmatisches Reflexions-System ORS18

für Bunnton  $h^* = lab^*h = 96/360 = 0.268$

$lab^*tch$  und  $lab^*nch$

D65: Bunnton Y  
LCH\*Ma: 90 92 96  
rgb\*Ma: 1.0 1.0 0.0

Dreiecks-Helligkeit



ORS18; adaptierte CIELAB-Daten

|      | $L^*=L^*_a$ | $a^*_a$ | $b^*_a$ | $C^*_{ab,a}$ | $h^*_{ab,a}$ |
|------|-------------|---------|---------|--------------|--------------|
| OMa  | 47.94       | 65.37   | 50.52   | 82.62        | 38           |
| YMa  | 90.37       | -10.27  | 91.77   | 92.34        | 96           |
| LMa  | 50.9        | -62.79  | 34.95   | 71.87        | 151          |
| CMa  | 58.62       | -30.35  | -45.01  | 54.3         | 236          |
| VMa  | 25.71       | 31.11   | -44.42  | 54.24        | 305          |
| MMa  | 48.13       | 75.27   | -8.35   | 75.73        | 354          |
| NMa  | 18.01       | 0.0     | 0.0     | 0.0          | 0            |
| WMa  | 95.41       | 0.0     | 0.0     | 0.0          | 0            |
| RCIE | 39.92       | 58.66   | 26.98   | 64.56        | 25           |
| JCIE | 81.26       | -2.17   | 67.76   | 67.79        | 92           |
| GCIE | 52.23       | -42.26  | 11.75   | 43.87        | 164          |
| BCIE | 30.57       | 1.15    | -46.84  | 46.87        | 271          |

%Regularität

$g^*_{H,rel} = 57$

$g^*_{C,rel} = 59$

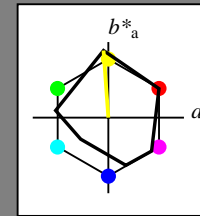
Ausgabe: Farbmatisches Reflexions-System MRS18

für Bunnton  $h^* = lab^*h = 94/360 = 0.261$

$lab^*tch$  und  $lab^*nch$

D65: Bunnton J  
LCH\*Ma: 91 89 94  
rgb\*Ma: 1.0 1.0 0.0

Dreiecks-Helligkeit



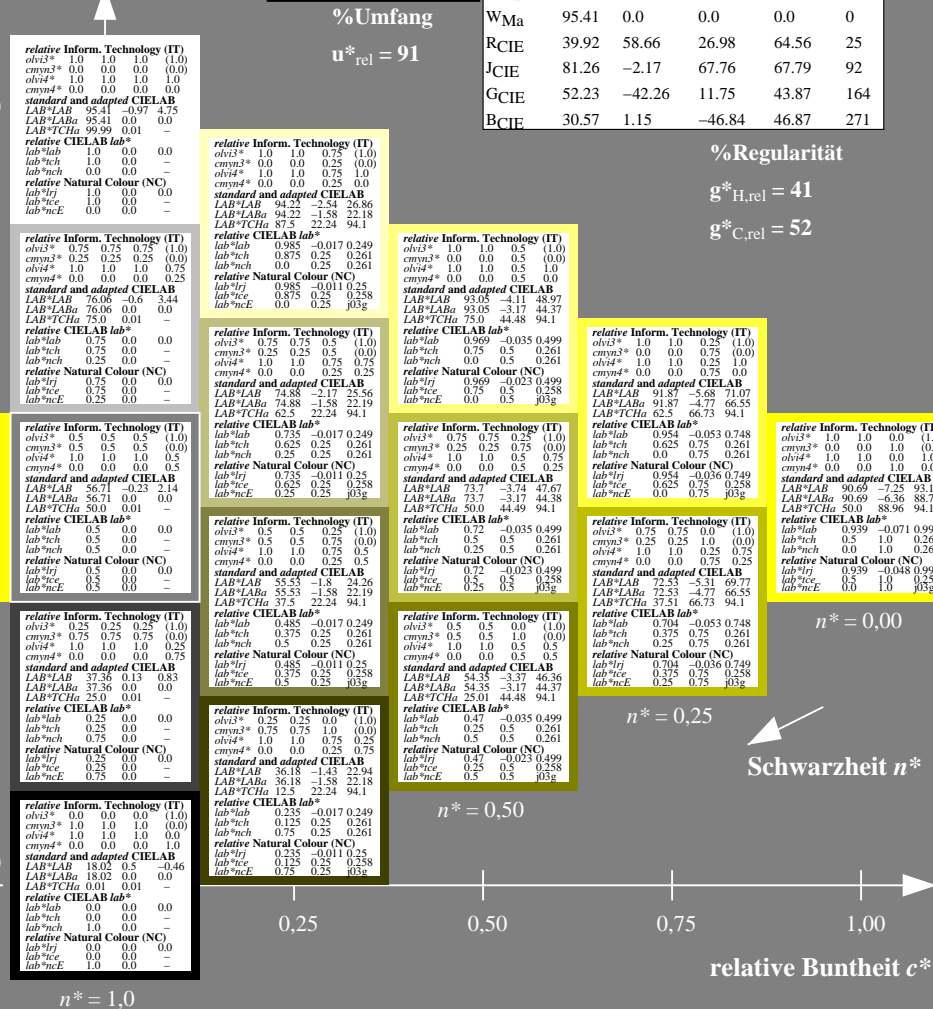
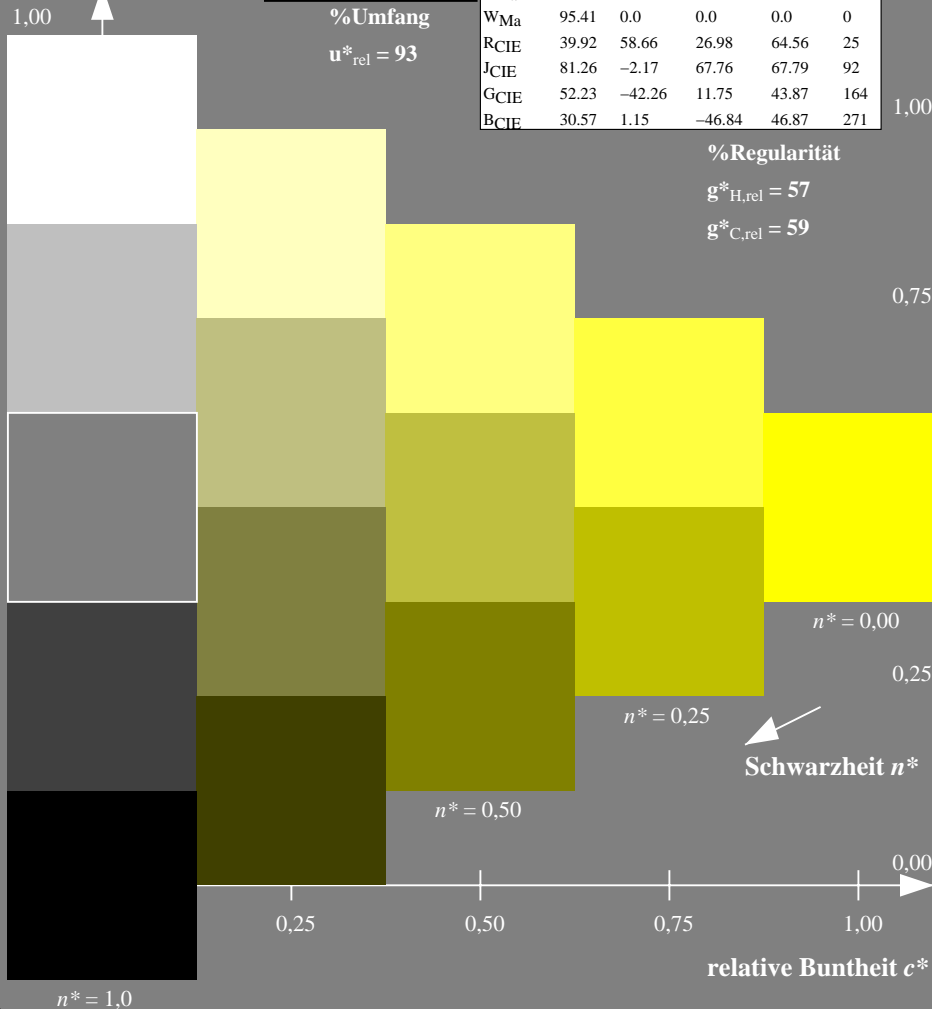
MRS18; adaptierte CIELAB-Daten

|        | $L^*=L^*_a$ | $a^*_a$ | $b^*_a$ | $C^*_{ab,a}$ | $h^*_{ab,a}$ |
|--------|-------------|---------|---------|--------------|--------------|
| RMa    | 49.63       | 66.96   | 38.37   | 77.18        | 30           |
| JMa    | 90.7        | -6.36   | 88.75   | 88.98        | 94           |
| GMa    | 52.11       | -69.73  | 9.44    | 70.37        | 172          |
| G50BMa | 45.03       | -36.57  | -28.47  | 46.36        | 218          |
| BMa    | 36.65       | 23.19   | -63.05  | 67.18        | 290          |
| B50RMa | 34.94       | 57.17   | -44.26  | 72.31        | 322          |
| NMa    | 18.01       | 0.0     | 0.0     | 0.0          | 0            |
| WMa    | 95.41       | 0.0     | 0.0     | 0.0          | 0            |
| RCIE   | 39.92       | 58.66   | 26.98   | 64.56        | 25           |
| JCIE   | 81.26       | -2.17   | 67.76   | 67.79        | 92           |
| GCIE   | 52.23       | -42.26  | 11.75   | 43.87        | 164          |
| BCIE   | 30.57       | 1.15    | -46.84  | 46.87        | 271          |

%Regularität

$g^*_{H,rel} = 41$

$g^*_{C,rel} = 52$



TG400-7, 5stufige Reihen für konstanten CIELAB Bunnton 96/360 = 0.268 (links)

5 stufige Reihen für konstanten CIELAB Bunnton 94/360 = 0.261 (rechts)

BAM-Prüfvorlage TG40; Farbmeter-Systeme ORS18 & ORS18 input:  $olv^* setrgbcolor$

D65: 5stufige Farbreihen und Koordinaten-Daten für 10 Bunttöneoutput: *Startup (S) data dependend*

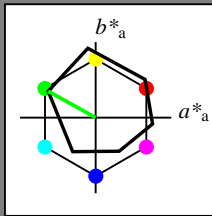
Eingabe: Farbmetrisches Reflexions-System ORS18

für Buntton  $h^* = lab^*h = 151/360 = 0.419$

$lab^*tch$  und  $lab^*nch$

D65: Buntton L  
LCH\*Ma: 51 72 151  
rgb\*Ma: 0.0 1.0 0.0

Dreiecks-Helligkeit



ORS18; adaptierte CIELAB-Daten

|      | $L^*=L^*_a$ | $a^*_a$ | $b^*_a$ | $C^*_{ab,a}$ | $h^*_{ab,a}$ |
|------|-------------|---------|---------|--------------|--------------|
| OMa  | 47.94       | 65.37   | 50.52   | 82.62        | 38           |
| YMa  | 90.37       | -10.27  | 91.77   | 92.34        | 96           |
| LMa  | 50.9        | -62.79  | 34.95   | 71.87        | 151          |
| CMa  | 58.62       | -30.35  | -45.01  | 54.3         | 236          |
| VMa  | 25.71       | 31.11   | -44.42  | 54.24        | 305          |
| MMa  | 48.13       | 75.27   | -8.35   | 75.73        | 354          |
| NMa  | 18.01       | 0.0     | 0.0     | 0.0          | 0            |
| WMa  | 95.41       | 0.0     | 0.0     | 0.0          | 0            |
| RCIE | 39.92       | 58.66   | 26.98   | 64.56        | 25           |
| JCIE | 81.26       | -2.17   | 67.76   | 67.79        | 92           |
| GCIE | 52.23       | -42.26  | 11.75   | 43.87        | 164          |
| BCIE | 30.57       | 1.15    | -46.84  | 46.87        | 271          |

%Regularität

$g^*_{H,rel} = 57$

$g^*_{C,rel} = 59$

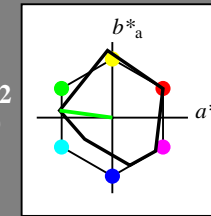
Ausgabe: Farbmetrisches Reflexions-System MRS18

für Buntton  $h^* = lab^*h = 172/360 = 0.479$

$lab^*tch$  und  $lab^*nch$

D65: Buntton G  
LCH\*Ma: 52 70 172  
rgb\*Ma: 0.0 1.0 0.0

Dreiecks-Helligkeit



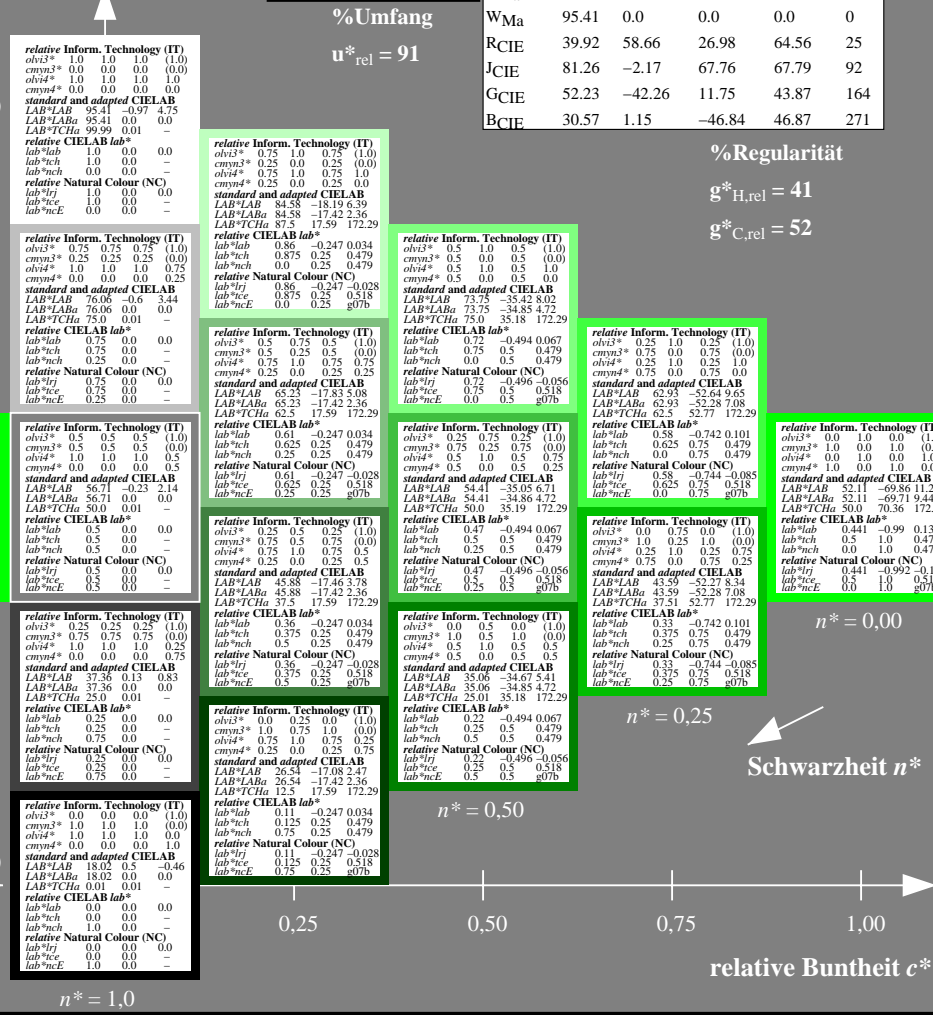
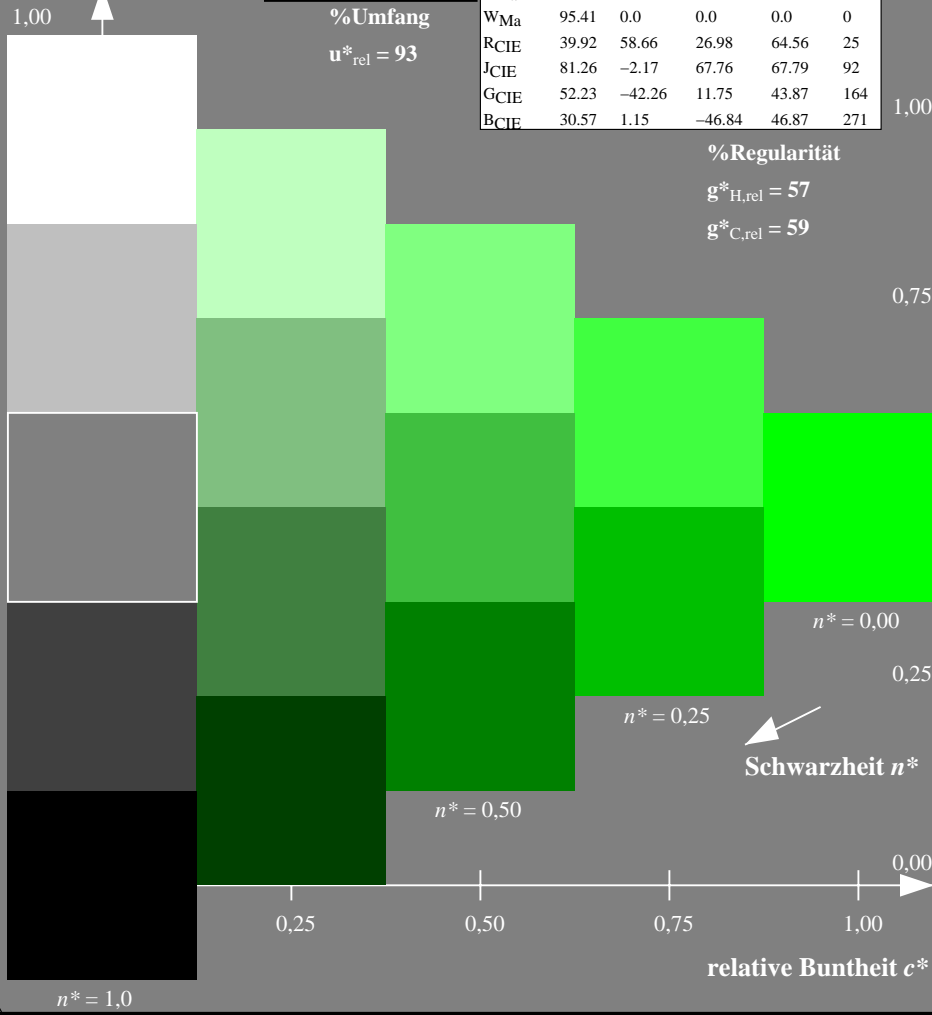
MRS18; adaptierte CIELAB-Daten

|        | $L^*=L^*_a$ | $a^*_a$ | $b^*_a$ | $C^*_{ab,a}$ | $h^*_{ab,a}$ |
|--------|-------------|---------|---------|--------------|--------------|
| RMa    | 49.63       | 66.96   | 38.37   | 77.18        | 30           |
| JMa    | 90.7        | -6.36   | 88.75   | 88.98        | 94           |
| GMa    | 52.11       | -69.73  | 9.44    | 70.37        | 172          |
| G50BMa | 45.03       | -36.57  | -28.47  | 46.36        | 218          |
| BMa    | 36.65       | 23.19   | -63.05  | 67.18        | 290          |
| B50RMa | 34.94       | 57.17   | -44.26  | 72.31        | 322          |
| NMa    | 18.01       | 0.0     | 0.0     | 0.0          | 0            |
| WMa    | 95.41       | 0.0     | 0.0     | 0.0          | 0            |
| RCIE   | 39.92       | 58.66   | 26.98   | 64.56        | 25           |
| JCIE   | 81.26       | -2.17   | 67.76   | 67.79        | 92           |
| GCIE   | 52.23       | -42.26  | 11.75   | 43.87        | 164          |
| BCIE   | 30.57       | 1.15    | -46.84  | 46.87        | 271          |

%Regularität

$g^*_{H,rel} = 41$

$g^*_{C,rel} = 52$



TG400-7, 5stufige Reihen für konstanten CIELAB Buntton 151/360 = 0.419 (links)

5stufige Reihen für konstanten CIELAB Buntton 172/360 = 0.479 (rechts)

BAM-Prüfvorlage TG40; Farbmetrik-Systeme ORS18 & ORS18 input:  $olv^* setrgbcolor$

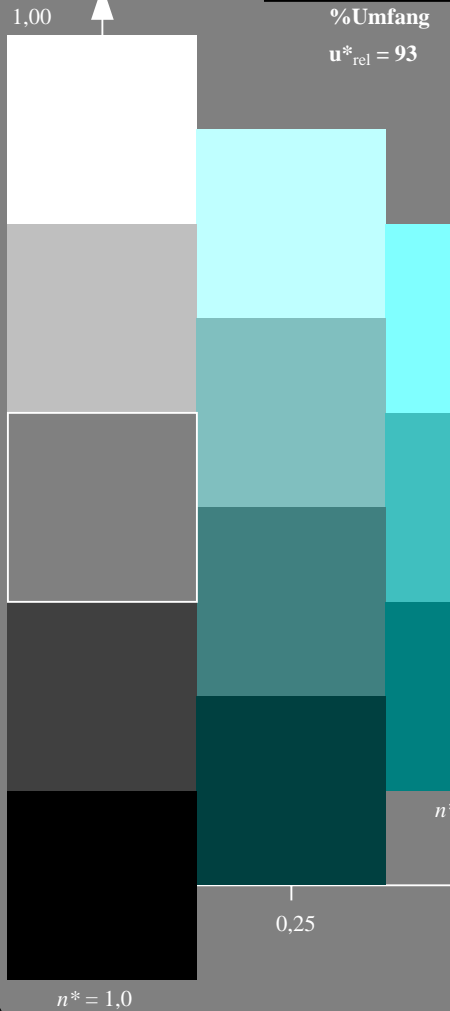
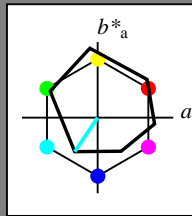
D65: 5stufige Farbreihen und Koordinaten-Daten für 10 Bunttöneoutput: *Startup (S) data dependend*

Eingabe: Farbmetrisches Reflexions-System ORS18

für Buntton  $h^* = lab^*h = 236/360 = 0.656$   
 $lab^*tch$  und  $lab^*nch$

D65: Buntton C  
LCH\*Ma: 59 54 236  
rgb\*Ma: 0.0 1.0 1.0

Dreiecks-Helligkeit



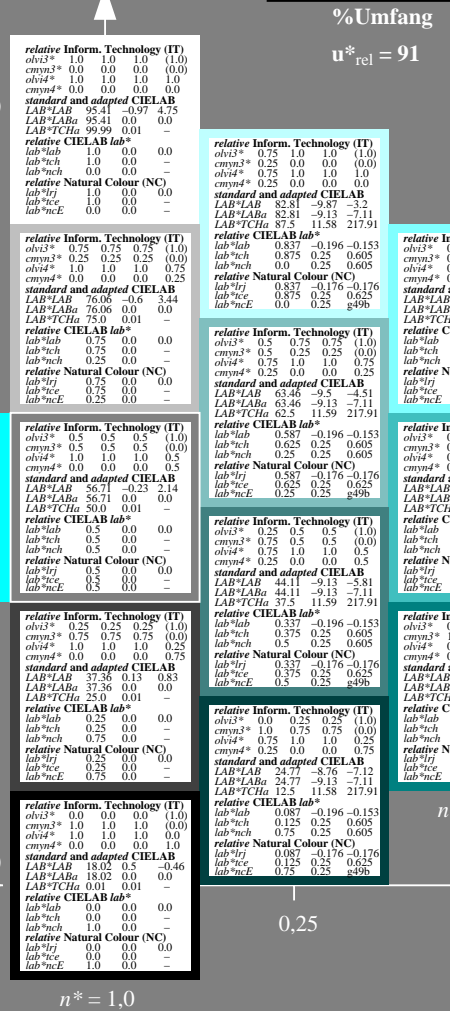
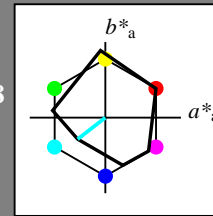
TG400-7, 5stufige Reihen für konstanten CIELAB Buntton 236/360 = 0.656 (links)

Ausgabe: Farbmetrisches Reflexions-System MRS18

für Buntton  $h^* = lab^*h = 218/360 = 0.605$   
 $lab^*tch$  und  $lab^*nch$

D65: Buntton G50B  
LCH\*Ma: 45 46 218  
rgb\*Ma: 0.0 1.0 1.0

Dreiecks-Helligkeit



5stufige Reihen für konstanten CIELAB Buntton 218/360 = 0.605 (rechts)

ORS18; adaptierte CIELAB-Daten

|      | L*=L*a | a*a    | b*a    | C* <sub>ab,a</sub> | h* <sub>ab,a</sub> |
|------|--------|--------|--------|--------------------|--------------------|
| OMa  | 47.94  | 65.37  | 50.52  | 82.62              | 38                 |
| YMa  | 90.37  | -10.27 | 91.77  | 92.34              | 96                 |
| LMa  | 50.9   | -62.79 | 34.95  | 71.87              | 151                |
| CMa  | 58.62  | -30.35 | -45.01 | 54.3               | 236                |
| VMa  | 25.71  | 31.11  | -44.42 | 54.24              | 305                |
| MMa  | 48.13  | 75.27  | -8.35  | 75.73              | 354                |
| NMa  | 18.01  | 0.0    | 0.0    | 0.0                | 0                  |
| WMa  | 95.41  | 0.0    | 0.0    | 0.0                | 0                  |
| RCIE | 39.92  | 58.66  | 26.98  | 64.56              | 25                 |
| JCIE | 81.26  | -2.17  | 67.76  | 67.79              | 92                 |
| GCIE | 52.23  | -42.26 | 11.75  | 43.87              | 164                |
| BCIE | 30.57  | 1.15   | -46.84 | 46.87              | 271                |

%Regularität

g\*<sub>H,rel</sub> = 57

g\*<sub>C,rel</sub> = 59

1.00

0.75

0.25

0.00

0.25

0.50

0.00

0.25

0.50

1.00

MRS18; adaptierte CIELAB-Daten

|        | L*=L*a | a*a    | b*a    | C* <sub>ab,a</sub> | h* <sub>ab,a</sub> |
|--------|--------|--------|--------|--------------------|--------------------|
| RMa    | 49.63  | 66.96  | 38.37  | 77.18              | 30                 |
| JMa    | 90.7   | -6.36  | 88.75  | 88.98              | 94                 |
| GMa    | 52.11  | -69.73 | 9.44   | 70.37              | 172                |
| G50BMa | 45.03  | -36.57 | -28.47 | 46.36              | 218                |
| BMa    | 36.65  | 23.19  | -63.05 | 67.18              | 290                |
| B50RMa | 34.94  | 57.17  | -44.26 | 72.31              | 322                |
| NMa    | 18.01  | 0.0    | 0.0    | 0.0                | 0                  |
| WMa    | 95.41  | 0.0    | 0.0    | 0.0                | 0                  |
| RCIE   | 39.92  | 58.66  | 26.98  | 64.56              | 25                 |
| JCIE   | 81.26  | -2.17  | 67.76  | 67.79              | 92                 |
| GCIE   | 52.23  | -42.26 | 11.75  | 43.87              | 164                |
| BCIE   | 30.57  | 1.15   | -46.84 | 46.87              | 271                |

%Regularität

g\*<sub>H,rel</sub> = 41

g\*<sub>C,rel</sub> = 52

1.00

0.75

0.50

0.25

0.00

0.25

0.50

0.75

1.00

BAM-Prüfvorlage TG40; Farbmetrik-Systeme ORS18 & ORS18 input:  $olv^* setrgbcolor$

D65: 5stufige Farbreihen und Koordinaten-Daten für 10 Bunttöneoutput: *Startup (S) data dependent*

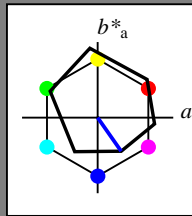


Eingabe: Farbmetrisches Reflexions-System ORS18

für Buntton  $h^* = lab^*h = 305/360 = 0.847$   
 $lab^*tch$  und  $lab^*nch$

D65: Buntton V  
LCH\*Ma: 26 54 305  
rgb\*Ma: 0.0 0.0 1.0

Dreiecks-Helligkeit



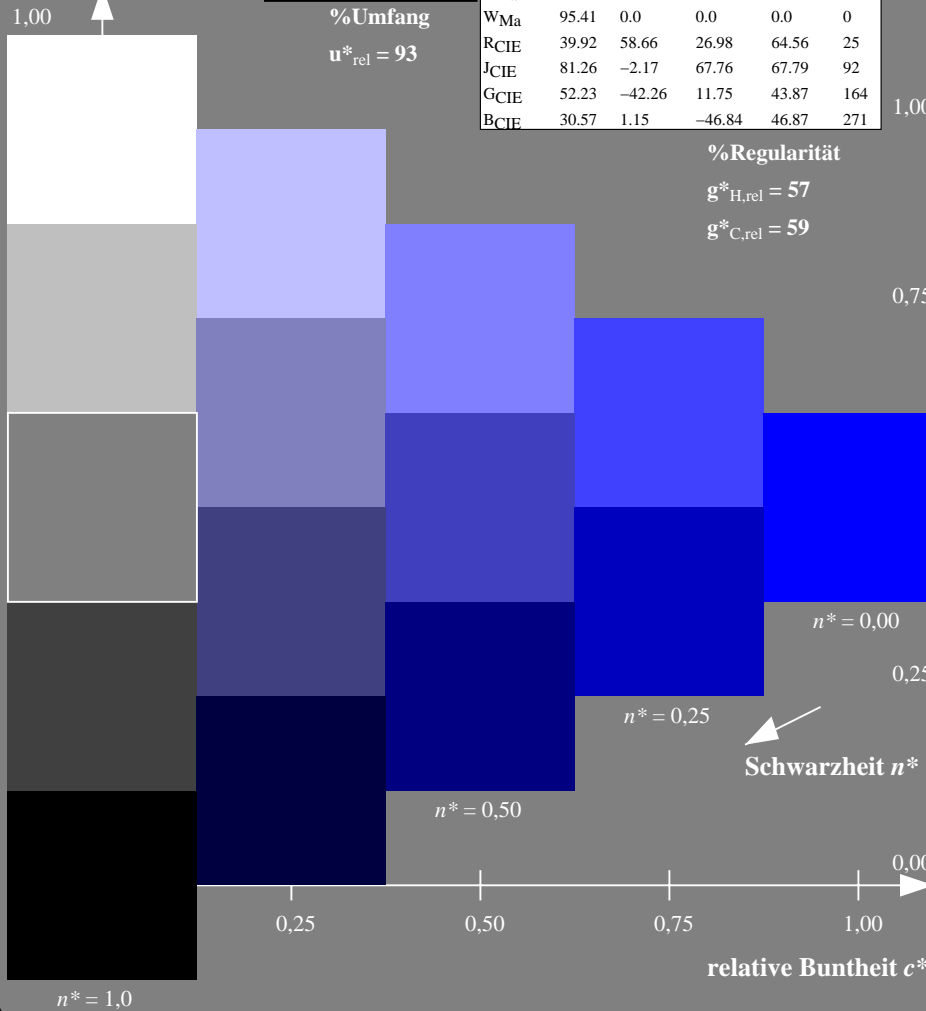
ORS18; adaptierte CIELAB-Daten

|      | $L^*=L^*_a$ | $a^*_a$ | $b^*_a$ | $C^*_{ab,a}$ | $h^*_{ab,a}$ |
|------|-------------|---------|---------|--------------|--------------|
| OMa  | 47.94       | 65.37   | 50.52   | 82.62        | 38           |
| YMa  | 90.37       | -10.27  | 91.77   | 92.34        | 96           |
| LMa  | 50.9        | -62.79  | 34.95   | 71.87        | 151          |
| CMa  | 58.62       | -30.35  | -45.01  | 54.3         | 236          |
| VMa  | 25.71       | 31.11   | -44.42  | 54.24        | 305          |
| MMa  | 48.13       | 75.27   | -8.35   | 75.73        | 354          |
| NMa  | 18.01       | 0.0     | 0.0     | 0.0          | 0            |
| WMa  | 95.41       | 0.0     | 0.0     | 0.0          | 0            |
| RCIE | 39.92       | 58.66   | 26.98   | 64.56        | 25           |
| JCIE | 81.26       | -2.17   | 67.76   | 67.79        | 92           |
| GCIE | 52.23       | -42.26  | 11.75   | 43.87        | 164          |
| BCIE | 30.57       | 1.15    | -46.84  | 46.87        | 271          |

%Regularität

$g^*_{H,rel} = 57$

$g^*_{C,rel} = 59$

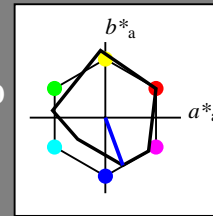


Ausgabe: Farbmetrisches Reflexions-System MRS18

für Buntton  $h^* = lab^*h = 290/360 = 0.806$   
 $lab^*tch$  und  $lab^*nch$

D65: Buntton B  
LCH\*Ma: 37 67 290  
rgb\*Ma: 0.0 0.0 1.0

Dreiecks-Helligkeit



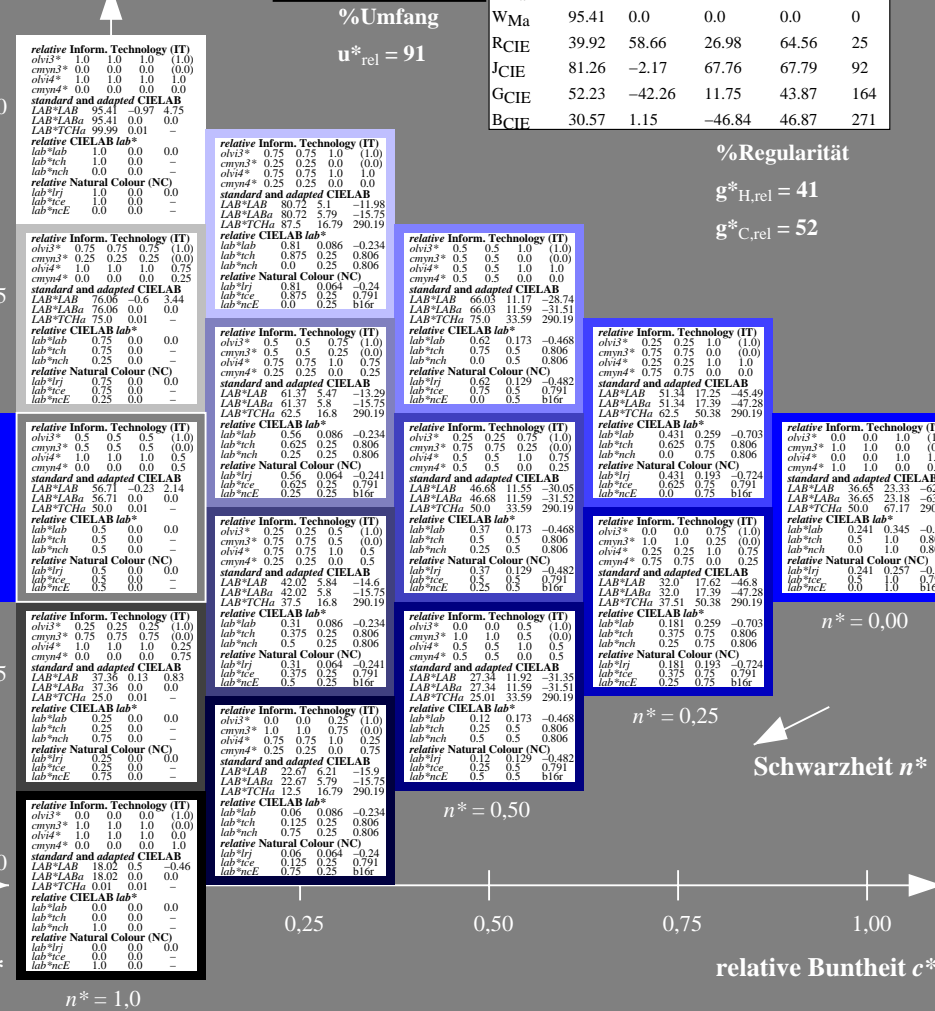
MRS18; adaptierte CIELAB-Daten

|        | $L^*=L^*_a$ | $a^*_a$ | $b^*_a$ | $C^*_{ab,a}$ | $h^*_{ab,a}$ |
|--------|-------------|---------|---------|--------------|--------------|
| RMa    | 49.63       | 66.96   | 38.37   | 77.18        | 30           |
| JMa    | 90.7        | -6.36   | 88.75   | 88.98        | 94           |
| GMa    | 52.11       | -69.73  | 9.44    | 70.37        | 172          |
| G50BMa | 45.03       | -36.57  | -28.47  | 46.36        | 218          |
| BMa    | 36.65       | 23.19   | -63.05  | 67.18        | 290          |
| B50RMa | 34.94       | 57.17   | -44.26  | 72.31        | 322          |
| NMa    | 18.01       | 0.0     | 0.0     | 0.0          | 0            |
| WMa    | 95.41       | 0.0     | 0.0     | 0.0          | 0            |
| RCIE   | 39.92       | 58.66   | 26.98   | 64.56        | 25           |
| JCIE   | 81.26       | -2.17   | 67.76   | 67.79        | 92           |
| GCIE   | 52.23       | -42.26  | 11.75   | 43.87        | 164          |
| BCIE   | 30.57       | 1.15    | -46.84  | 46.87        | 271          |

%Regularität

$g^*_{H,rel} = 41$

$g^*_{C,rel} = 52$



TG40-7, 5stufige Reihen für konstanten CIELAB Buntton 305/360 = 0.847 (links)

5stufige Reihen für konstanten CIELAB Buntton 290/360 = 0.806 (rechts)

BAM-Prüfvorlage TG40; Farbmetrik-Systeme ORS18 & ORS18 input:  $olv^* setrgbcolor$

D65: 5stufige Farbreihen und Koordinaten-Daten für 10 Bunttöneoutput: Startup (S) data dependend

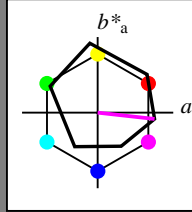
Eingabe: Farbmatisches Reflexions-System ORS18

für Buntton  $h^* = lab^*h = 354/360 = 0.982$

$lab^*tch$  und  $lab^*nch$

D65: Buntton M  
LCH\*Ma: 48 76 354  
rgb\*Ma: 1.0 0.0 1.0

Dreiecks-Helligkeit



ORS18; adaptierte CIELAB-Daten

|      | $L^*=L^*_a$ | $a^*_a$ | $b^*_a$ | $C^*_{ab,a}$ | $h^*_{ab,a}$ |
|------|-------------|---------|---------|--------------|--------------|
| OMa  | 47.94       | 65.37   | 50.52   | 82.62        | 38           |
| YMa  | 90.37       | -10.27  | 91.77   | 92.34        | 96           |
| LMa  | 50.59       | -62.79  | 34.95   | 71.87        | 151          |
| CMa  | 58.62       | -30.35  | -45.01  | 54.3         | 236          |
| VMa  | 25.71       | 31.11   | -44.42  | 54.24        | 305          |
| MMa  | 48.13       | 75.27   | -8.35   | 75.73        | 354          |
| NMa  | 18.01       | 0.0     | 0.0     | 0.0          | 0            |
| WMa  | 95.41       | 0.0     | 0.0     | 0.0          | 0            |
| RCIE | 39.92       | 58.66   | 26.98   | 64.56        | 25           |
| JCIE | 81.26       | -2.17   | 67.76   | 67.79        | 92           |
| GCIE | 52.23       | -42.26  | 11.75   | 43.87        | 164          |
| BCIE | 30.57       | 1.15    | -46.84  | 46.87        | 271          |

%Regularität

$g^*_{H,rel} = 57$

$g^*_{C,rel} = 59$

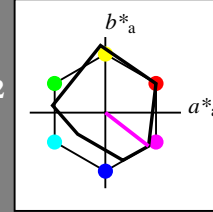
Ausgabe: Farbmatisches Reflexions-System MRS18

für Buntton  $h^* = lab^*h = 322/360 = 0.895$

$lab^*tch$  und  $lab^*nch$

D65: Buntton B50R  
LCH\*Ma: 35 72 322  
rgb\*Ma: 1.0 0.0 1.0

Dreiecks-Helligkeit



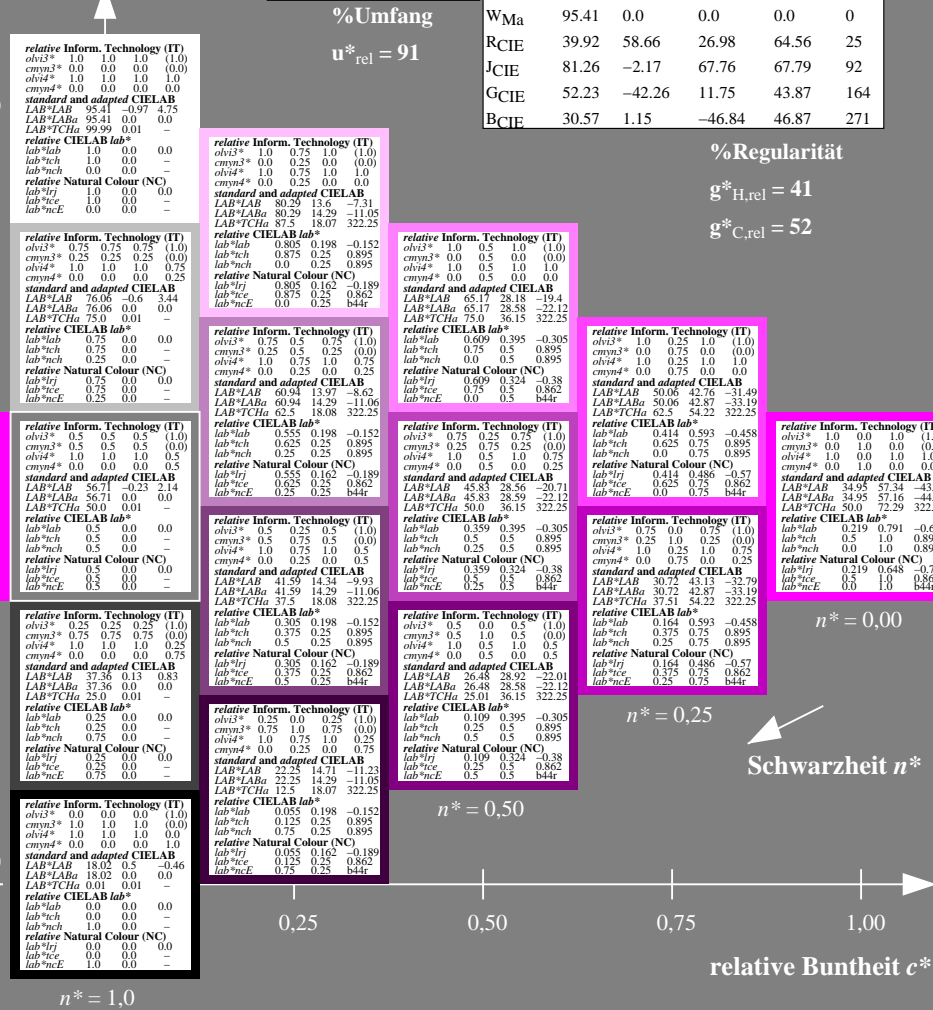
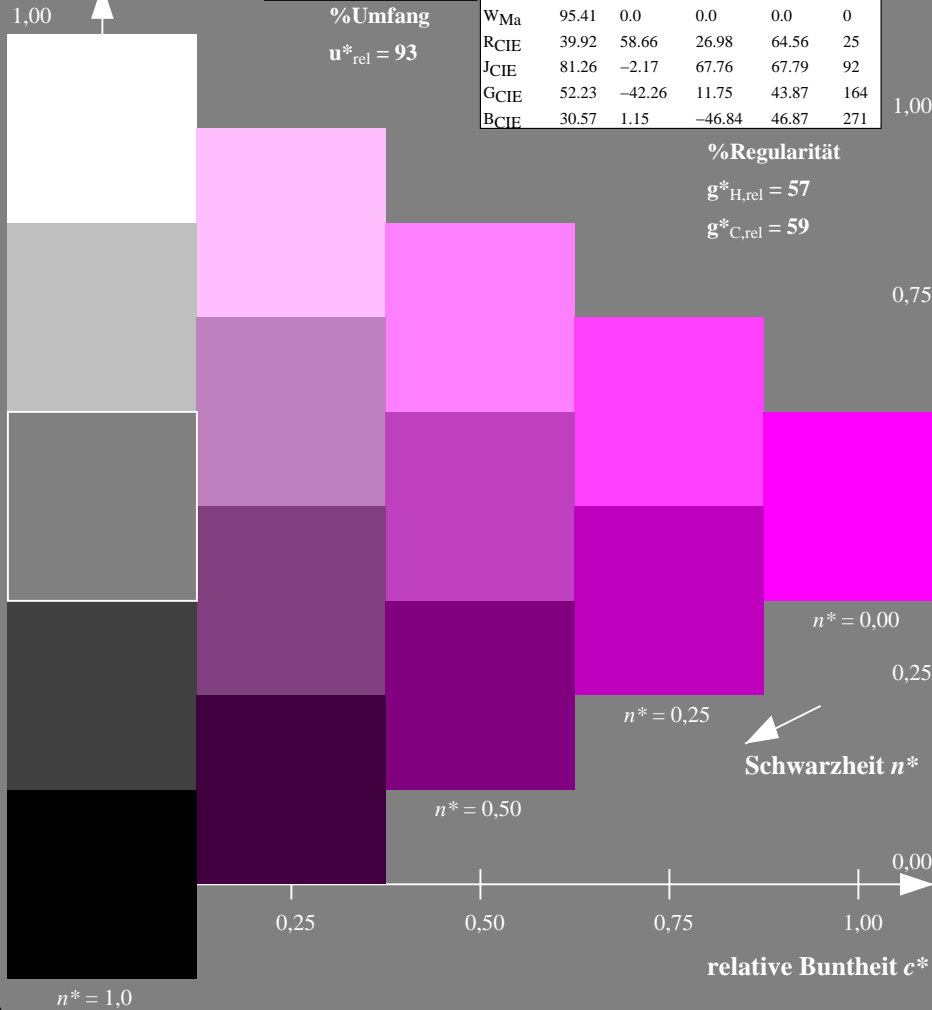
MRS18; adaptierte CIELAB-Daten

|        | $L^*=L^*_a$ | $a^*_a$ | $b^*_a$ | $C^*_{ab,a}$ | $h^*_{ab,a}$ |
|--------|-------------|---------|---------|--------------|--------------|
| RMa    | 49.63       | 66.96   | 38.37   | 77.18        | 30           |
| JMa    | 90.7        | -6.36   | 88.75   | 88.98        | 94           |
| GMa    | 52.11       | -69.73  | 9.44    | 70.37        | 172          |
| G50BMa | 45.03       | -36.57  | -28.47  | 46.36        | 218          |
| BMa    | 36.65       | 23.19   | -63.05  | 67.18        | 290          |
| B50RMa | 34.94       | 57.17   | -44.26  | 72.31        | 322          |
| NMa    | 18.01       | 0.0     | 0.0     | 0.0          | 0            |
| WMa    | 95.41       | 0.0     | 0.0     | 0.0          | 0            |
| RCIE   | 39.92       | 58.66   | 26.98   | 64.56        | 25           |
| JCIE   | 81.26       | -2.17   | 67.76   | 67.79        | 92           |
| GCIE   | 52.23       | -42.26  | 11.75   | 43.87        | 164          |
| BCIE   | 30.57       | 1.15    | -46.84  | 46.87        | 271          |

%Regularität

$g^*_{H,rel} = 41$

$g^*_{C,rel} = 52$



TG400-7, 5stufige Reihen für konstanten CIELAB Buntton 354/360 = 0.982 (links)

5 stufige Reihen für konstanten CIELAB Buntton 322/360 = 0.895 (rechts)

BAM-Prüfvorlage TG40; Farbmatrik-Systeme ORS18 & ORS18 input:  $olv^* setrgbcolor$   
D65: 5stufige Farbreihen und Koordinaten-Daten für 10 Bunttöneoutput: *Startup (S) data dependend*

Siehe ähnliche Dateien: <http://www.ps.bam.de/TG40/>  
Technische Information: <http://www.ps.bam.de/Version 2.1, io=1,1?>

BAM-Registrierung: 20060101-TG40/10S/S40G05SP.PS/.PDF BAM-Material: Code=rh4ta  
Anwendung für Beurteilung und Messung von Drucker- oder Monitorssystemen  
Schulung 6  
TG400 Form 6/10, Serie: 1/1, Seite: 6

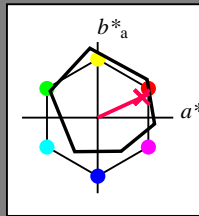
Eingabe: Farbmatisches Reflexions-System ORS18

für Buntton  $h^* = lab^*h = 25/360 = 0.069$

$lab^*tch$  und  $lab^*nch$

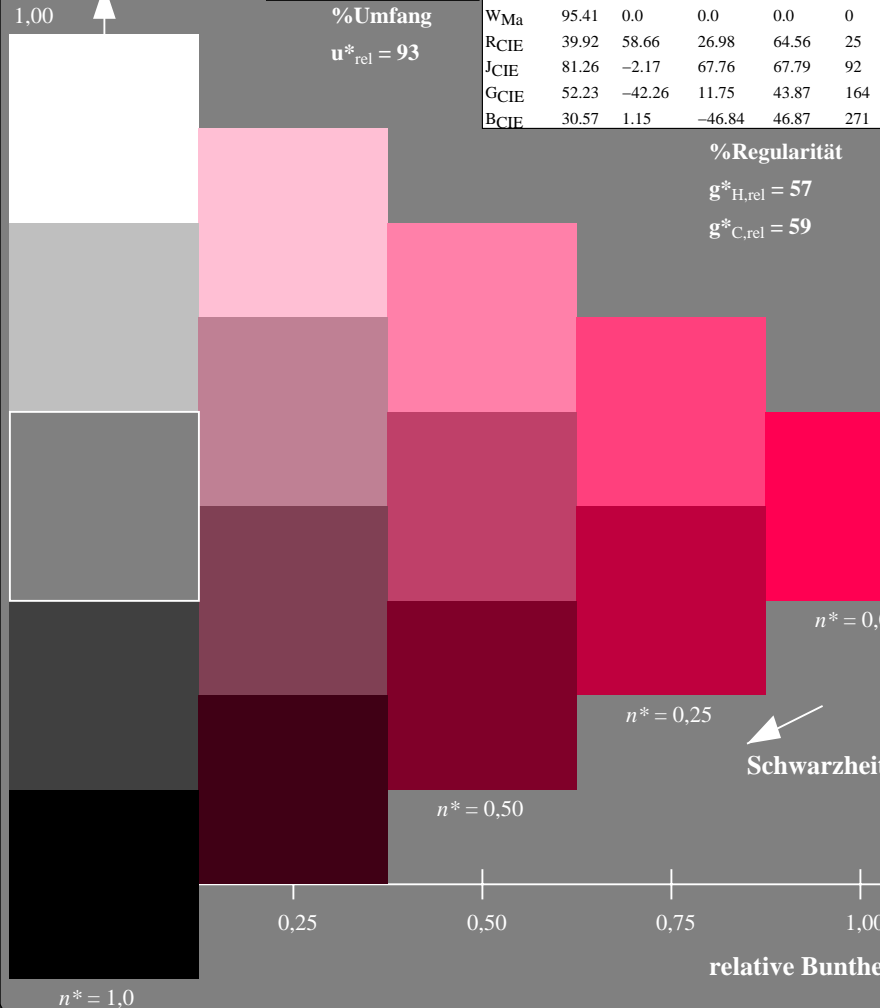
D65: Buntton R  
LCH\*Ma: 48 75 25  
rgb\*Ma: 1.0 0.0 0.32

Dreiecks-Helligkeit



%Umfang

$u^*_{rel} = 93$



ORS18; adaptierte CIELAB-Daten

|      | $L^*=L^*_a$ | $a^*_a$ | $b^*_a$ | $C^*_{ab,a}$ | $h^*_{ab,a}$ |
|------|-------------|---------|---------|--------------|--------------|
| OMa  | 47.94       | 65.37   | 50.52   | 82.62        | 38           |
| YMa  | 90.37       | -10.27  | 91.77   | 92.34        | 96           |
| LMa  | 50.9        | -62.79  | 34.95   | 71.87        | 151          |
| CMa  | 58.62       | -30.35  | -45.01  | 54.3         | 236          |
| VMa  | 25.71       | 31.11   | -44.42  | 54.24        | 305          |
| MMa  | 48.13       | 75.27   | -8.35   | 75.73        | 354          |
| NMa  | 18.01       | 0.0     | 0.0     | 0.0          | 0            |
| WMa  | 95.41       | 0.0     | 0.0     | 0.0          | 0            |
| RCIE | 39.92       | 58.66   | 26.98   | 64.56        | 25           |
| JCIE | 81.26       | -2.17   | 67.76   | 67.79        | 92           |
| GCIE | 52.23       | -42.26  | 11.75   | 43.87        | 164          |
| BCIE | 30.57       | 1.15    | -46.84  | 46.87        | 271          |

%Regularität

$g^*_{H,rel} = 57$

$g^*_{C,rel} = 59$

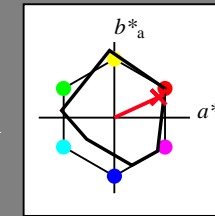
Ausgabe: Farbmatisches Reflexions-System MRS18

für Buntton  $h^* = lab^*h = 25/360 = 0.069$

$lab^*tch$  und  $lab^*nch$

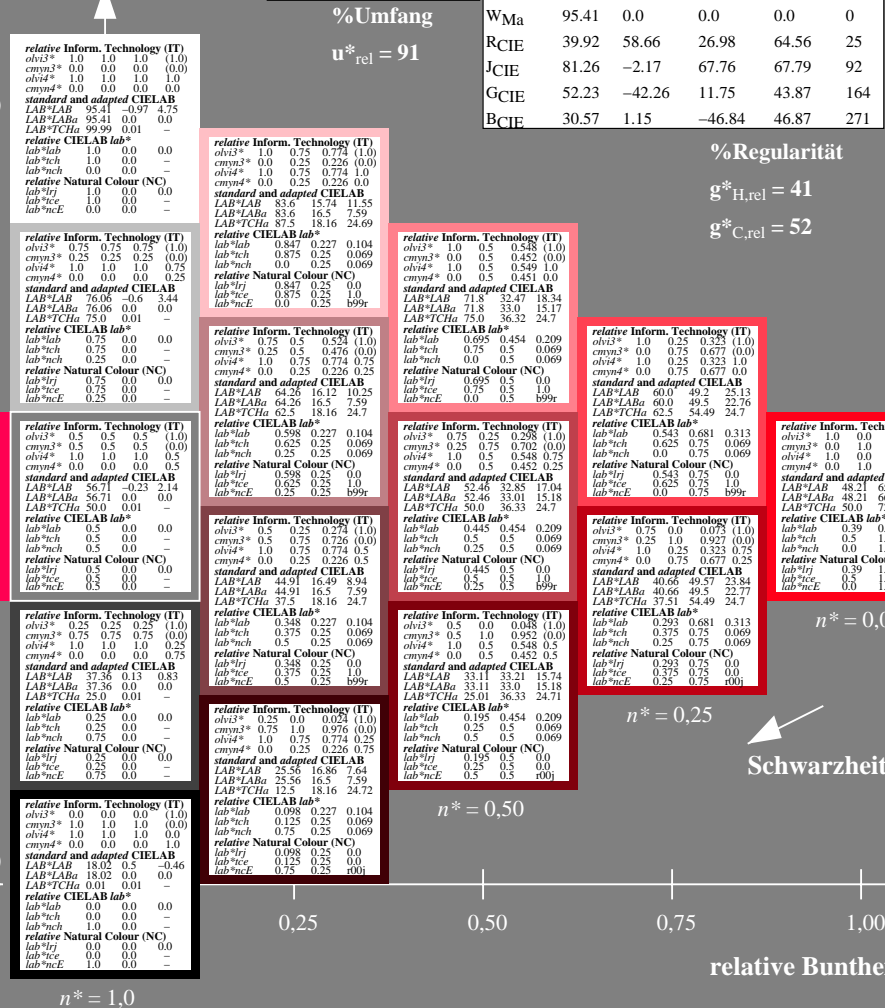
D65: Buntton R  
LCH\*Ma: 48 73 25  
rgb\*Ma: 1.0 0.0 0.1

Dreiecks-Helligkeit



%Umfang

$u^*_{rel} = 91$



MRS18; adaptierte CIELAB-Daten

|        | $L^*=L^*_a$ | $a^*_a$ | $b^*_a$ | $C^*_{ab,a}$ | $h^*_{ab,a}$ |
|--------|-------------|---------|---------|--------------|--------------|
| RMa    | 49.63       | 66.96   | 38.37   | 77.18        | 30           |
| JMa    | 90.7        | -6.36   | 88.75   | 88.98        | 94           |
| GMa    | 52.11       | -69.73  | 9.44    | 70.37        | 172          |
| G50BMa | 45.03       | -36.57  | -28.47  | 46.36        | 218          |
| BMa    | 36.65       | 23.19   | -63.05  | 67.18        | 290          |
| B50RMa | 34.94       | 57.17   | -44.26  | 72.31        | 322          |
| NMa    | 18.01       | 0.0     | 0.0     | 0.0          | 0            |
| WMa    | 95.41       | 0.0     | 0.0     | 0.0          | 0            |
| RCIE   | 39.92       | 58.66   | 26.98   | 64.56        | 25           |
| JCIE   | 81.26       | -2.17   | 67.76   | 67.79        | 92           |
| GCIE   | 52.23       | -42.26  | 11.75   | 43.87        | 164          |
| BCIE   | 30.57       | 1.15    | -46.84  | 46.87        | 271          |

%Regularität

$g^*_{H,rel} = 41$

$g^*_{C,rel} = 52$

TG400-7, 5 stufige Reihen für konstanten CIELAB Buntton 25/360 = 0.069 (links)

5 stufige Reihen für konstanten CIELAB Buntton 25/360 = 0.069 (rechts)

BAM-Prüfvorlage TG40; Farbmeter-Systeme ORS18 & ORS18 input:  $olv^* setrgbcolor$

D65: 5stufige Farbreihen und Koordinaten-Daten für 10 Bunttöneoutput: *Startup (S) data dependend*

Siehe ähnliche Dateien: <http://www.ps.bam.de/TG40/>  
Technische Information: <http://www.ps.bam.de/Version 2.1, io=1,1?>

BAM-Registrierung: 20060101-TG40/10S/S40G06SP.PS/.PDF BAM-Material: Code=rh4ta  
Anwendung für Beurteilung und Messung von Drucker- oder Monitorssystemen  
TG400 Form 7/10, Serie: 1/1, Seite: 7  
Schnitzlung 7

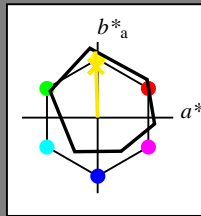
Eingabe: Farbmetrisches Reflexions-System ORS18

für Bunnton  $h^* = lab^*h = 92/360 = 0.255$

$lab^*tch$  und  $lab^*nch$

D65: Bunnton J  
LCH\*Ma: 86 88 92  
rgb\*Ma: 1.0 0.9 0.0

Dreiecks-Helligkeit



ORS18; adaptierte CIELAB-Daten

|      | $L^*=L^*_a$ | $a^*_a$ | $b^*_a$ | $C^*_{ab,a}$ | $h^*_{ab,a}$ |
|------|-------------|---------|---------|--------------|--------------|
| OMa  | 47.94       | 65.37   | 50.52   | 82.62        | 38           |
| YMa  | 90.37       | -10.27  | 91.77   | 92.34        | 96           |
| LMa  | 50.9        | -62.79  | 34.95   | 71.87        | 151          |
| CMa  | 58.62       | -30.35  | -45.01  | 54.3         | 236          |
| VMa  | 25.71       | 31.11   | -44.42  | 54.24        | 305          |
| MMa  | 48.13       | 75.27   | -8.35   | 75.73        | 354          |
| NMa  | 18.01       | 0.0     | 0.0     | 0.0          | 0            |
| WMa  | 95.41       | 0.0     | 0.0     | 0.0          | 0            |
| RCIE | 39.92       | 58.66   | 26.98   | 64.56        | 25           |
| JCIE | 81.26       | -2.17   | 67.76   | 67.79        | 92           |
| GCIE | 52.23       | -42.26  | 11.75   | 43.87        | 164          |
| BCIE | 30.57       | 1.15    | -46.84  | 46.87        | 271          |

%Regularität

$g^*_{H,rel} = 57$

$g^*_{C,rel} = 59$

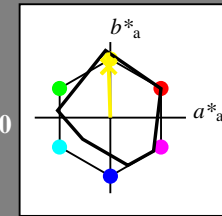
Ausgabe: Farbmetrisches Reflexions-System MRS18

für Bunnton  $h^* = lab^*h = 92/360 = 0.255$

$lab^*tch$  und  $lab^*nch$

D65: Bunnton J  
LCH\*Ma: 89 86 92  
rgb\*Ma: 1.0 0.95 0.0

Dreiecks-Helligkeit



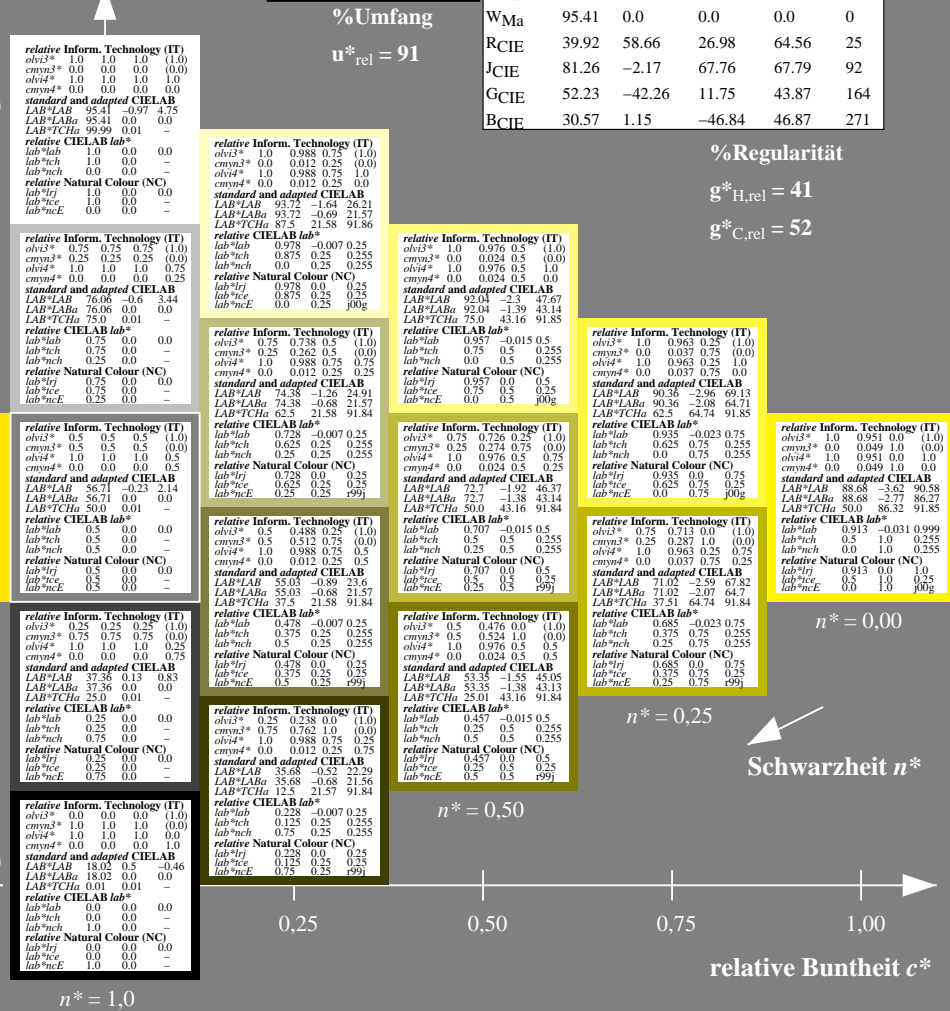
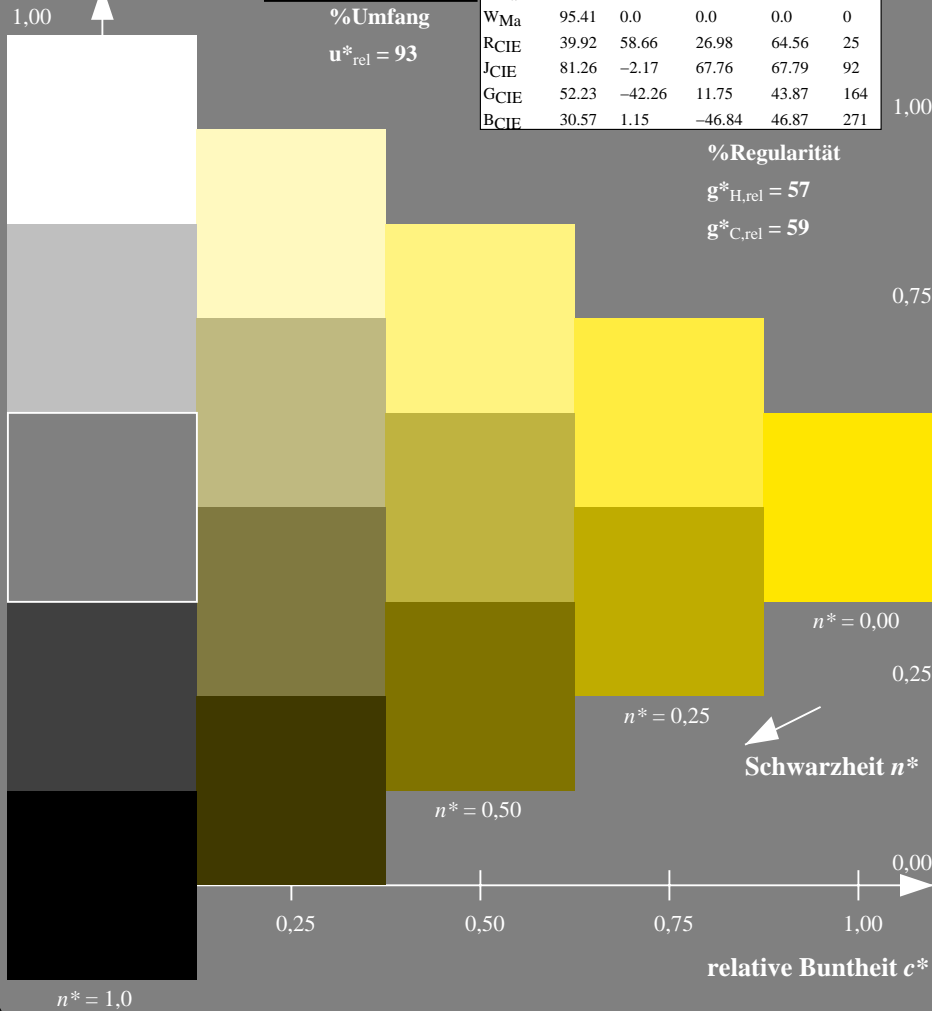
MRS18; adaptierte CIELAB-Daten

|        | $L^*=L^*_a$ | $a^*_a$ | $b^*_a$ | $C^*_{ab,a}$ | $h^*_{ab,a}$ |
|--------|-------------|---------|---------|--------------|--------------|
| RMa    | 49.63       | 66.96   | 38.37   | 77.18        | 30           |
| JMa    | 90.7        | -6.36   | 88.75   | 88.98        | 94           |
| GMa    | 52.11       | -69.73  | 9.44    | 70.37        | 172          |
| G50BMa | 45.03       | -36.57  | -28.47  | 46.36        | 218          |
| BMa    | 36.65       | 23.19   | -63.05  | 67.18        | 290          |
| B50RMa | 34.94       | 57.17   | -44.26  | 72.31        | 322          |
| NMa    | 18.01       | 0.0     | 0.0     | 0.0          | 0            |
| WMa    | 95.41       | 0.0     | 0.0     | 0.0          | 0            |
| RCIE   | 39.92       | 58.66   | 26.98   | 64.56        | 25           |
| JCIE   | 81.26       | -2.17   | 67.76   | 67.79        | 92           |
| GCIE   | 52.23       | -42.26  | 11.75   | 43.87        | 164          |
| BCIE   | 30.57       | 1.15    | -46.84  | 46.87        | 271          |

%Regularität

$g^*_{H,rel} = 41$

$g^*_{C,rel} = 52$



TG400-7, 5stufige Reihen für konstanten CIELAB Bunnton 92/360 = 0.255 (links)

5stufige Reihen für konstanten CIELAB Bunnton 92/360 = 0.255 (rechts)

BAM-Prüfvorlage TG40; Farbmetrik-Systeme ORS18 & ORS18 input:  $olv^* setrgbcolor$   
D65: 5stufige Farbreihen und Koordinaten-Daten für 10 Bunttöneoutput: Startup (S) data dependend

BAM-Registrierung: 20060101-TG40/10S/S40G07SP.PS/.PDF BAM-Material: Code=rh4ta  
Anwendung für Beurteilung und Messung von Drucker- oder Monitorssystemen  
Schulung 8



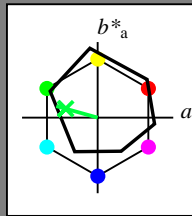
Eingabe: Farbmetrisches Reflexions-System ORS18

für Buntton  $h^* = lab^*h = 164/360 = 0.457$

$lab^*tch$  und  $lab^*nch$

D65: Buntton G  
LCH\*Ma: 53 57 164  
rgb\*Ma: 0.0 1.0 0.25

Dreiecks-Helligkeit



ORS18; adaptierte CIELAB-Daten

|      | $L^*=L^*_a$ | $a^*_a$ | $b^*_a$ | $C^*_{ab,a}$ | $h^*_{ab,a}$ |
|------|-------------|---------|---------|--------------|--------------|
| OMa  | 47.94       | 65.37   | 50.52   | 82.62        | 38           |
| YMa  | 90.37       | -10.27  | 91.77   | 92.34        | 96           |
| LMa  | 50.9        | -62.79  | 34.95   | 71.87        | 151          |
| CMa  | 58.62       | -30.35  | -45.01  | 54.3         | 236          |
| VMa  | 25.71       | 31.11   | -44.42  | 54.24        | 305          |
| MMa  | 48.13       | 75.27   | -8.35   | 75.73        | 354          |
| NMa  | 18.01       | 0.0     | 0.0     | 0.0          | 0            |
| WMa  | 95.41       | 0.0     | 0.0     | 0.0          | 0            |
| RCIE | 39.92       | 58.66   | 26.98   | 64.56        | 25           |
| JCIE | 81.26       | -2.17   | 67.76   | 67.79        | 92           |
| GCIE | 52.23       | -42.26  | 11.75   | 43.87        | 164          |
| BCIE | 30.57       | 1.15    | -46.84  | 46.87        | 271          |

%Regularität

$g^*_{H,rel} = 57$

$g^*_{C,rel} = 59$

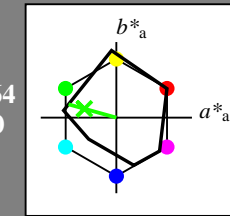
Ausgabe: Farbmetrisches Reflexions-System MRS18

für Buntton  $h^* = lab^*h = 164/360 = 0.457$

$lab^*tch$  und  $lab^*nch$

D65: Buntton G  
LCH\*Ma: 56 66 164  
rgb\*Ma: 0.1 1.0 0.0

Dreiecks-Helligkeit



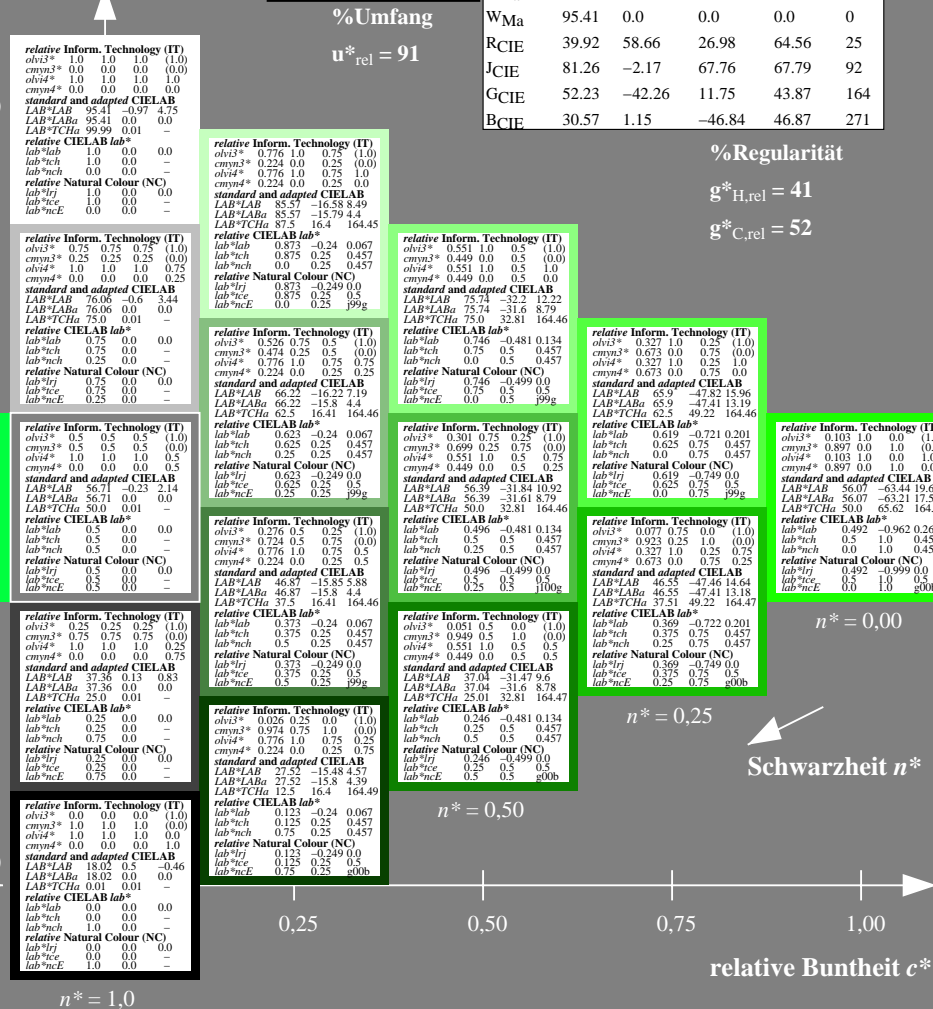
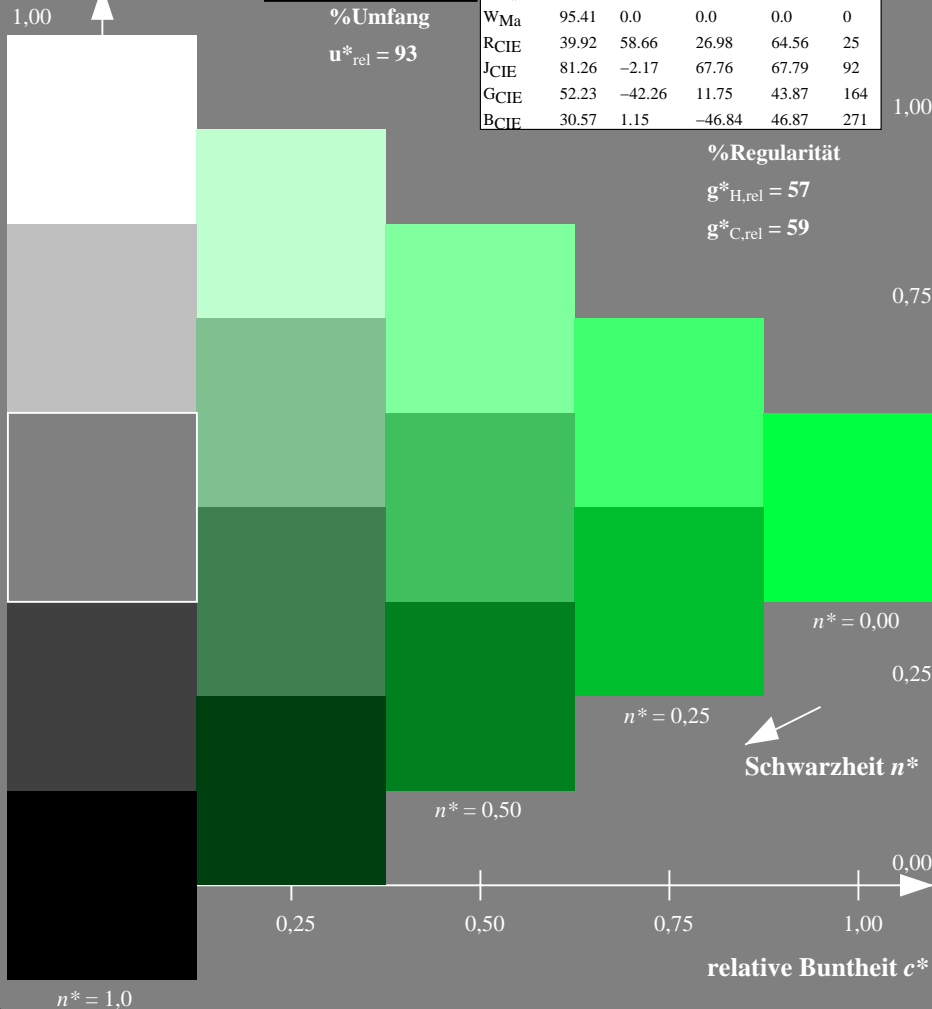
MRS18; adaptierte CIELAB-Daten

|        | $L^*=L^*_a$ | $a^*_a$ | $b^*_a$ | $C^*_{ab,a}$ | $h^*_{ab,a}$ |
|--------|-------------|---------|---------|--------------|--------------|
| RMa    | 49.63       | 66.96   | 38.37   | 77.18        | 30           |
| JMa    | 90.7        | -6.36   | 88.75   | 88.98        | 94           |
| GMa    | 52.11       | -69.73  | 9.44    | 70.37        | 172          |
| G50BMa | 45.03       | -36.57  | -28.47  | 46.36        | 218          |
| BMa    | 36.65       | 23.19   | -63.05  | 67.18        | 290          |
| B50RMa | 34.94       | 57.17   | -44.26  | 72.31        | 322          |
| NMa    | 18.01       | 0.0     | 0.0     | 0.0          | 0            |
| WMa    | 95.41       | 0.0     | 0.0     | 0.0          | 0            |
| RCIE   | 39.92       | 58.66   | 26.98   | 64.56        | 25           |
| JCIE   | 81.26       | -2.17   | 67.76   | 67.79        | 92           |
| GCIE   | 52.23       | -42.26  | 11.75   | 43.87        | 164          |
| BCIE   | 30.57       | 1.15    | -46.84  | 46.87        | 271          |

%Regularität

$g^*_{H,rel} = 41$

$g^*_{C,rel} = 52$



TG400-7, 5stufige Reihen für konstanten CIELAB Buntton 164/360 = 0.457 (links)

5stufige Reihen für konstanten CIELAB Buntton 164/360 = 0.457 (rechts)

BAM-Prüfvorlage TG40; Farbmetrik-Systeme ORS18 & ORS18 input:  $olv^* setrgbcolor$

D65: 5stufige Farbreihen und Koordinaten-Daten für 10 Bunttöneoutput: Startup (S) data dependend

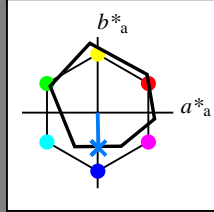
Eingabe: Farbmetrisches Reflexions-System ORS18

für Buntton  $h^* = lab^*h = 271/360 = 0.754$

$lab^*tch$  und  $lab^*nch$

D65: Buntton B  
LCH\*Ma: 42 45 271  
rgb\*Ma: 0.0 0.49 1.0

Dreiecks-Helligkeit



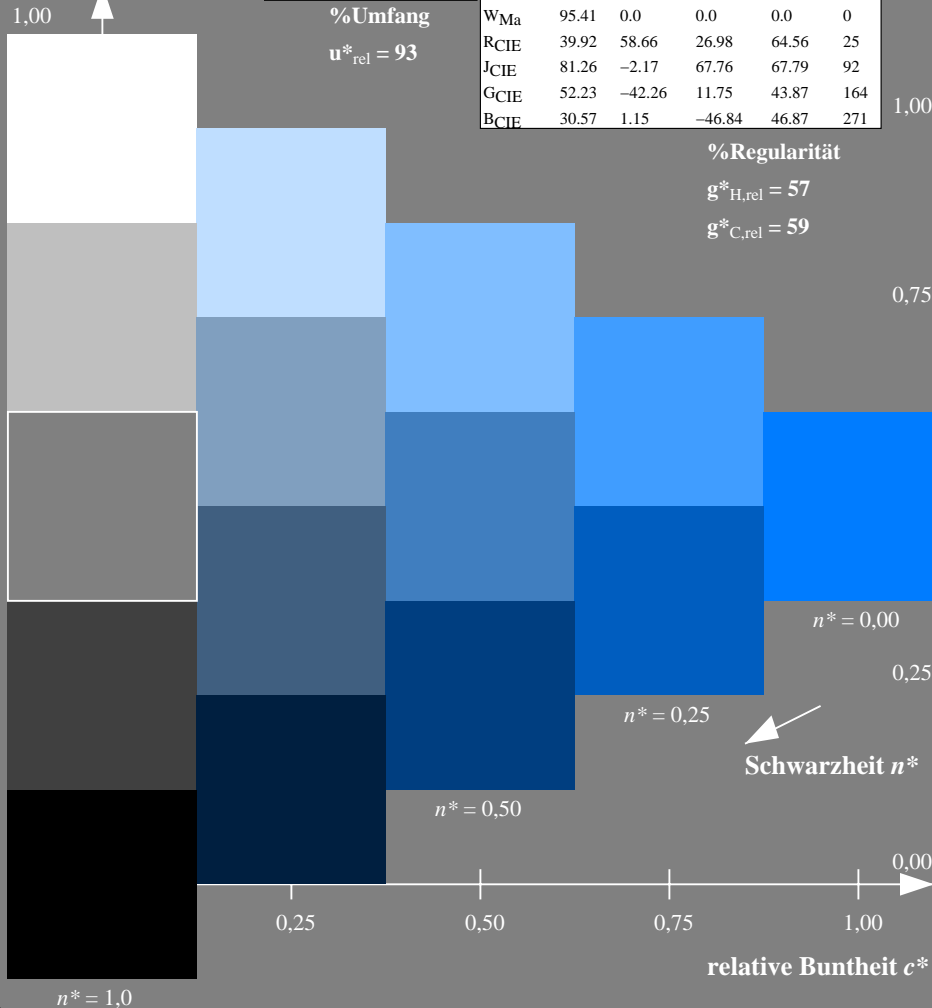
ORS18; adaptierte CIELAB-Daten

|      | $L^* = L^*_a$ | $a^*_a$ | $b^*_a$ | $C^*_{ab,a}$ | $h^*_{ab,a}$ |
|------|---------------|---------|---------|--------------|--------------|
| OMa  | 47.94         | 65.37   | 50.52   | 82.62        | 38           |
| YMa  | 90.37         | -10.27  | 91.77   | 92.34        | 96           |
| LMa  | 50.9          | -62.79  | 34.95   | 71.87        | 151          |
| CMa  | 58.62         | -30.35  | -45.01  | 54.3         | 236          |
| VMa  | 25.71         | 31.11   | -44.42  | 54.24        | 305          |
| MMa  | 48.13         | 75.27   | -8.35   | 75.73        | 354          |
| NMa  | 18.01         | 0.0     | 0.0     | 0.0          | 0            |
| WMa  | 95.41         | 0.0     | 0.0     | 0.0          | 0            |
| RCIE | 39.92         | 58.66   | 26.98   | 64.56        | 25           |
| JCIE | 81.26         | -2.17   | 67.76   | 67.79        | 92           |
| GCIE | 52.23         | -42.26  | 11.75   | 43.87        | 164          |
| BCIE | 30.57         | 1.15    | -46.84  | 46.87        | 271          |

%Regularität

$g^*_{H,rel} = 57$

$g^*_{C,rel} = 59$



TG400-7, 5stufige Reihen für konstanten CIELAB Buntton 271/360 = 0.754 (links)

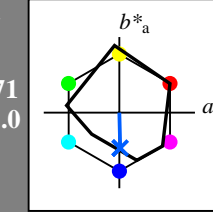
Ausgabe: Farbmetrisches Reflexions-System MRS18

für Buntton  $h^* = lab^*h = 271/360 = 0.754$

$lab^*tch$  und  $lab^*nch$

D65: Buntton B  
LCH\*Ma: 40 50 271  
rgb\*Ma: 0.0 0.37 1.0

Dreiecks-Helligkeit



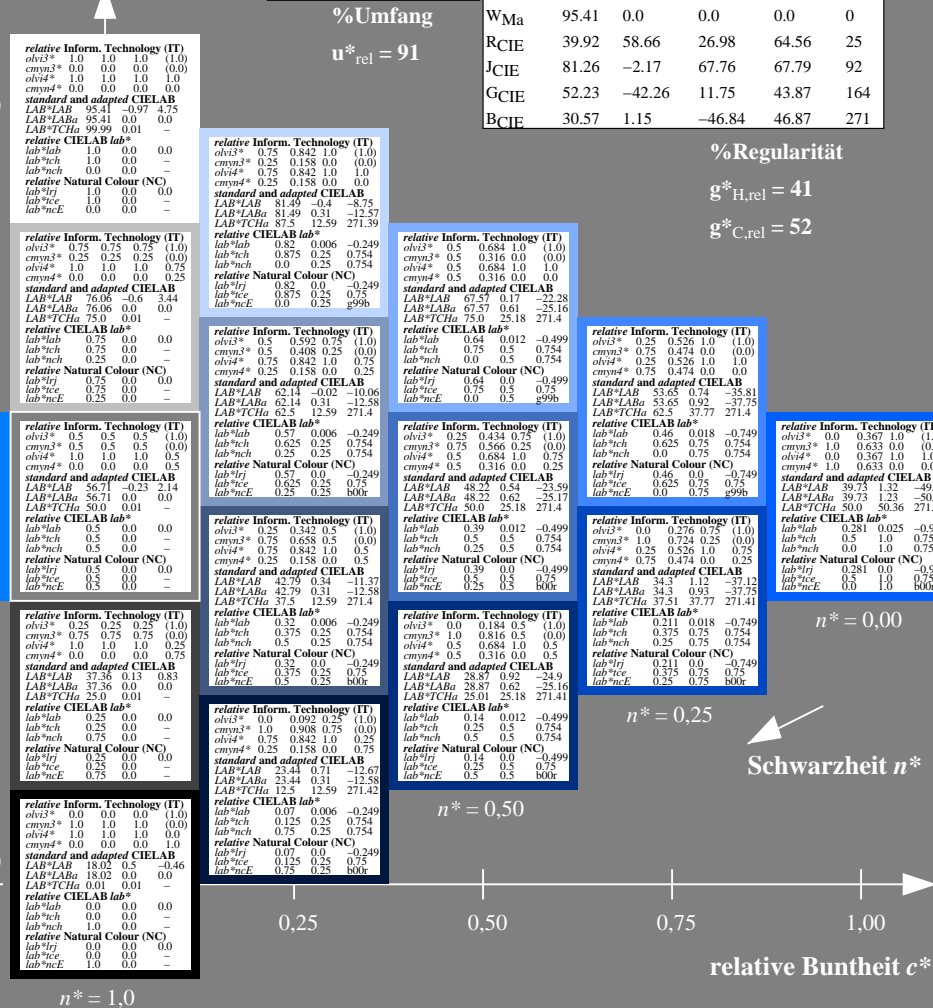
MRS18; adaptierte CIELAB-Daten

|        | $L^* = L^*_a$ | $a^*_a$ | $b^*_a$ | $C^*_{ab,a}$ | $h^*_{ab,a}$ |
|--------|---------------|---------|---------|--------------|--------------|
| RMa    | 49.63         | 66.96   | 38.37   | 77.18        | 30           |
| JMa    | 90.7          | -6.36   | 88.75   | 88.98        | 94           |
| GMa    | 52.11         | -69.73  | 9.44    | 70.37        | 172          |
| G50BMa | 45.03         | -36.57  | -28.47  | 46.36        | 218          |
| BMa    | 36.65         | 23.19   | -63.05  | 67.18        | 290          |
| B50RMa | 34.94         | 57.17   | -44.26  | 72.31        | 322          |
| NMa    | 18.01         | 0.0     | 0.0     | 0.0          | 0            |
| WMa    | 95.41         | 0.0     | 0.0     | 0.0          | 0            |
| RCIE   | 39.92         | 58.66   | 26.98   | 64.56        | 25           |
| JCIE   | 81.26         | -2.17   | 67.76   | 67.79        | 92           |
| GCIE   | 52.23         | -42.26  | 11.75   | 43.87        | 164          |
| BCIE   | 30.57         | 1.15    | -46.84  | 46.87        | 271          |

%Regularität

$g^*_{H,rel} = 41$

$g^*_{C,rel} = 52$



5 stufige Reihen für konstanten CIELAB Buntton 271/360 = 0.754 (rechts)

BAM-Prüfvorlage TG40; Farbmetrik-Systeme ORS18 & ORS18 input:  $olv^* setrgbcolor$

D65: 5stufige Farbreihen und Koordinaten-Daten für 10 Bunttöneoutput: Startup (S) data dependend

Siehe ähnliche Dateien: <http://www.ps.bam.de/TG40/>  
Technische Information: <http://www.ps.bam.de/Version 2.1, io=1,1?>

BAM-Registrierung: 20060101-TG40/10S/S40G09SP.PS/.PDF BAM-Material: Code=th4ta  
Anwendung für Beurteilung und Messung von Drucker- oder Monitorsystemen  
TG40/ Form 10/10/Seite: 1/1, Seite: 10  
Seitanzhang 10